洞庭湖草尾河航道碍航特性分析

刘方舟, 乾东岳, 普晓刚, 张明

(湖南省交通规划勘察设计院有限公司,湖南 长沙 410000)

摘 要:洞庭湖草尾河航道因外部条件变化,在多次航道整治后枯水期再次成滩。为进一步认识草尾河航道碍航特性,采用平面二维水流数学模型,对洞庭湖草尾河航道开展了水流数值模拟计算。计算结果表明,草尾河下段约24.7km 航段枯水期航深不足;枯水期水位落差集中在阿弥石至灵官咀河段,枯水期局部最大比降3.6‰,最大表面流速3.28m/s,急流成滩;阿弥石河段为连续弯道,上下湾顶对峙,流态紊乱,险滩碍航。即草尾河航道枯水期兼具浅、险、急多重碍航特性。采砂形成纵向陡坎是枯水期再次成滩的主要成因,建议进行采砂坑修复,同时扩能升级工程再次实施后应加强管理避免整治工程失效。

关键词:草尾河;连续弯道;碍航特性;陡坎;数学模型

中图分类号: TV213.4 文献标识码: A 文章编号: 1006-7973 (2022) 09-0119-03

1 前言

草尾河茅草街至鲇鱼口 73km 河道可分为河、湖两段(见图1),其中茅草街至泥湾 57km 为上段,两岸有防洪大堤,具有河道属性;泥湾至鲇鱼口 16km 为下段,是洞庭湖的一部分,具有河湖双重属性。草尾河两端水位差较大,河湖双重属性作用下易形成"陡坎"^[1]。该段是洞庭湖区历次航道整治的重点滩险之一^[2-3]。经过多年发展,该航段基本满足 III 级航道标准,可通航1000t 级船舶^[4]。不过近年来受湖区水沙情势变化^[5] 和河道采砂等高强度人类活动的综合影响,灵官咀及其以下河段航道整治竣工地形受到严重破坏,导致阿弥石至灵官咀河段通航条件又急剧恶化,枯水期需助航上滩。

为适应沿江经济发展和船舶大型化需要,湖南省水运"十三五"建设规划要求沅水常德至鲇鱼口 213km 航段进一步扩大航道尺度和提升通过能力,将航道等级由Ⅲ级提升至Ⅲ级(3.0m×75m×360m,水深×航宽×弯曲半径),其中茅草街至鲇鱼口 73km 的航道是沅水常德至鲇鱼口Ⅲ级航道建设中的关键性工程之一,为研究航道条件恶化的成因,避免航道扩能升级后航道条件再次恶化,建立平面二维水流数学模型对现状河道开展数值模拟计算研究。

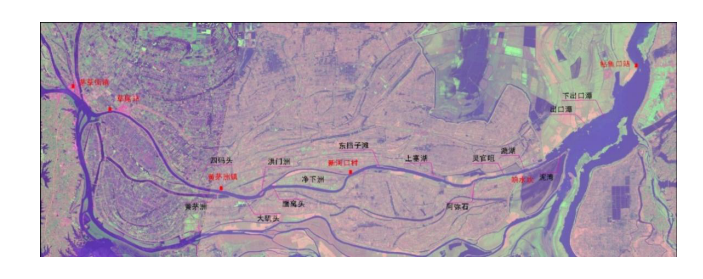


图 1 草尾河河道形势及滩险位置图

2 平面二维水流数学模型的建立与验证

2.1 模型基本方程

平面二维水流模型基本方程可表示成如下通用微分方程式,即:

 $\frac{\partial (C_{\eta}Hu\Phi)}{\partial \zeta} + \frac{\partial (C_{\xi}Hv\Phi)}{\partial \eta} = \frac{\partial}{\partial \xi} (\Gamma_{\Phi}H\frac{C_{\eta}}{C_{\xi}}\frac{\partial \Phi}{\partial \eta}) + \frac{\partial}{\partial \eta} (\Gamma_{\Phi}H\frac{C_{\xi}}{C_{\eta}}\frac{\partial \Phi}{\partial \eta}) + S_{\Phi} \quad (1)$ 其中, \mathbf{u} 、 \mathbf{v} 为水流在 \mathbf{x} 、 \mathbf{y} 方向上的流速, \mathbf{H} 为水深, $\mathbf{\Gamma}_{\Phi}$ 为扩散系数, $\mathbf{\Phi} = H, u, v, S$,各方程主要差别体现在源项 \mathbf{S}_{Φ} 上,源项是因变量的函数,需对源项 \mathbf{S}_{Φ} 负坡线性化,即: $\mathbf{S}_{\Phi} = \mathbf{S}_{p}\Phi + \mathbf{S}_{c}$, Φ 、 \mathbf{S}_{P} 、 \mathbf{S}_{C} 为方程替代项。

2.2 模拟范围与计算网格

建立了草尾河航道平面二维水流数学模型,模型进口位于草尾水文站附近,出口位于泥湾附近,模拟河段长约60km,共布置1570×196个网格,并对航道区域及滩险河段进行加密处理,加密后纵向尺度一般为20~50m,横向尺度一般为4~8m。数学模型计算范围见图2所示。



图 2 数学模型计算河段 1/10 网格图

3 现状水流特性计算分析

3.1 计算条件

因高水期草尾河水面平缓,船舶航行情况较好,故 数学模型重点针对中枯水期航道条件进行研究,根据河 道来流情况,确定了6种计算工况(表1)。

序号	草尾站流量 (m³/s)	尾门水位(m)	备注
1	460	19.14	设计最小通航流量
2	700	20.18	枯水流量
3	1000	22.93	中水流量
4	1500	25.29	洪水流量
5	3000	29.71	洪水流量
6	5190	33.94	20 年—遇

表 1 数学模型计算工况

3.2 现状水流特性计算分析

3.2.1 河道水位

在 计 算 条 件 下 , 草 尾 至 泥 湾 河 段 水 位 落 差 1.26 ~ 6.97m , 水位落差呈现随流量增大而逐渐减小的 规律。草尾流量 460 m³/s 时 , 水位落差最大 , 为 6.97m , 草尾站水位 26.11m 。

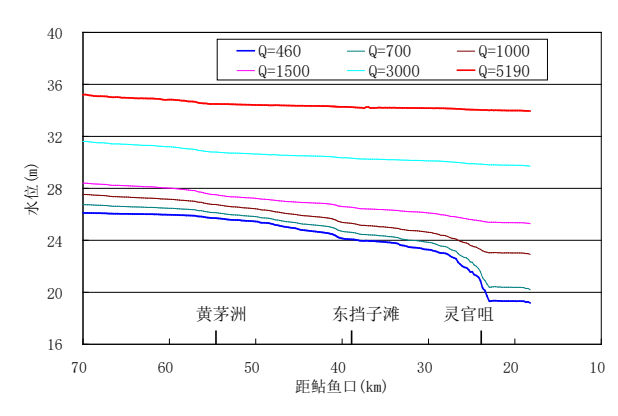


图 3 现状情况各工况条件下河段水面线

3.2.2 河道比降

随着流量增大,草尾至泥湾河段局部最大比降趋于减小。在设计最小通航流量 Q=460m³/s 时,河段局部最大比降最大,为 3.47‰;在流量增大到 1500m³/s 时,局

部最大比降已降至1%。以下。

流量 $Q \leq 700 \text{m}^3/\text{s}$ 时,阿弥石至漉湖河段局部比降较大,其中灵官咀滩、阿弥石滩、漉湖滩局部最大比降分别为 3.47%。2.06%。0.81%,其它河段水流较为平缓,局部比降最大为 0.56%。;流量 $Q=1000 \text{m}^3/\text{s}$ 时,阿弥石滩局部最大比降为 1.27%。,灵官咀滩、漉湖滩局部最大比降分别减小至 0.57%。、0.42%。,其它滩段局部比降最大为 0.47%。;在流量 $Q \geq 1500 \text{m}^3/\text{s}$ 时,全河段局部最大比降位置位于四码头附近,阿弥石至漉湖河段局部最大比降小于 0.5%。

3.2.3 航槽水深

图 4 给出了草尾站为设计最小通航流量 Q=460m³/s、鹿角站为设计最低通航水位 19.09m 条件下航槽的最小水深。由图可见,黄茅洲至漉湖河段,现状情况下大部分航段(约 24.7km)不能满足 3m 设计航深的要求,其中灵官咀河段沿程最小水深一般在 2m 左右,比设计水深小 1m; 上塞湖河段沿程最小水深一般在 2.5m 左右,比设计水深小 0.5m; 净下洲至黄茅洲河段沿程最小水深一般在 2.6 ~ 2.8m,比设计水深小 0.4 ~ 0.2m。黄茅洲以上至草尾河段、泥湾以下河段沿程最小水深一般大于 3m, 水深条件较好。

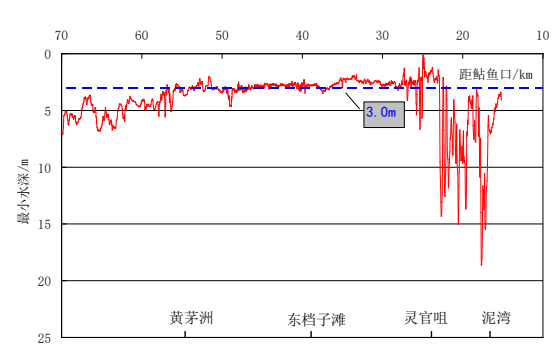


图 4 研究河段航槽最小水深沿程变化图

3.2.4 河道流速

草尾至黄茅洲间长约15km,河道微弯,河槽单一,水面平缓,Q≤3000m³/s时,流速小于2m/s,枯水河面宽度最小约200m,通航水流条件较好。黄茅洲至上塞湖河段流速一般小于1.5m/s,主流也比较平顺。阿弥石至漉湖6km河段,河床起伏较大,且岸线不规则,对水流流态有一定影响,如阿弥石河段水流比较紊乱(图5),灵官咀枯水有明显的急流(图6),左岸有明显的回流。漉湖以下开始进入湖区,因受采砂等影响,床面较低,水流流速较小,通航水流条件较好。

流量 $Q \le 1000 \text{m}^3/\text{s}$ 时,灵官咀是全河段流速最大的河段,且最大流速呈随流量增大流速减小态势;流量 $Q \ge 1500 \text{m}^3/\text{s}$ 时,全河段流速最大区域位于黄茅洲至草尾水文站之间,且最大流速呈随流量增大流速增大态势。在计算的各工况条件下,以工况 1 设计最小通航流量 $Q=460 \text{m}^3/\text{s}$ 条件下,灵官咀河段流速最急,最大流速达 3.21 m/s。

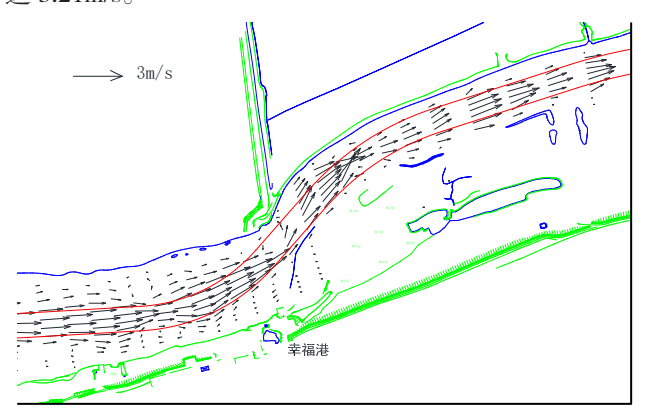


图 5 现状情况 Q=460m3/s 条件下阿弥石河段流场

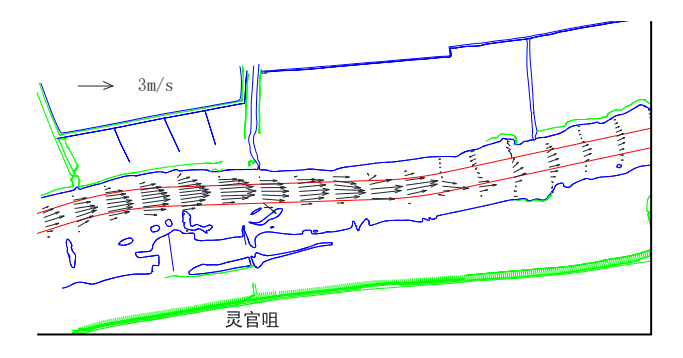


图 6 现状情况 Q=460m3/s 条件下灵官咀河段流场

3.3 碍航特性分析

现状条件下草尾河水流特性与上滩能力计算成果 表明,枯水期水位落差集中在阿弥石至灵官咀河段:

- (1)阿弥石河段呈连续急弯河势,河槽窄深、上下湾顶对峙,在设计最小流量时最大局部比降 2.06‰,最大表面流速 2.60m/s,流态紊乱、水流冲岸,最小航槽水深不能满足 Ⅱ级航道尺度要求,具有枯水急、浅、险多重碍航特性。
- (2)灵官咀河段为顺直河段,灵官咀中段深泓陡降, 形成跌坎。枯水期局部最大比降 3.6‰,最大表面流速 3.28m/s,急流碍航。因灵官咀上接阿弥石连续弯道段, 灵官咀进口段形成回流碍航流态。
- (3)草尾至鲇鱼口拟建航道等级为Ⅱ级,保证率98%,设计航道尺度为3.0×75×360m。在航道等级由Ⅲ级提升至Ⅱ级后,航道水深将由2.0m提高到

3.0m。现状情况下黄茅洲至漉湖河段,大部分航段(约24.7km)不能满足3m设计航深要求,主要为枯水浅滩。

4 结论及建议

采用平面二维水流数学模型对草尾河开展数值模 拟计算,计算结果表明:

- (1)近年来灵官咀及其以下河段出现大面积河床 非自然下切。局部河床非自然下切在灵官咀河段形成陡 坎。因枯水期洞庭湖水位较低,草尾河两端水位落差大, 加之灵官咀及其以下河段深泓陡降,导致草尾河水面比 降集中于陡坎以上的阿弥石至灵官咀河段,枯水成滩。
- (2)草尾河下段约 24.7km 不能满足 3m 设计航深 要求,且整个河段水位落差主要集中于阿弥石至灵官咀段,该段是影响草尾河下段水位的关键节点。节点河床 浚深或拓宽,易导致阿弥石以上河段枯水水位大幅下降,需慎重考虑该段航道整治措施。
- (3)根据碍航特性与成因分析,拓宽与浚深阿弥石至灵官咀段河槽仅可改善局部水流条件,且易导致碍航点上移。通过修复灵官咀及其以下河段采砂坑,营造平缓的枯水水位,减小阿弥石至灵官咀河段水位落差,可系统解决草尾河枯水碍航的问题。

参考文献:

[1] 刘海军, 余德清, 刘登忠, 夏清, 颜玲. 草尾河灵官嘴"跌水"成因的遥感研究 [J]. 国土资源遥感, 2006(03):65-68.

[2] 郭小虎,李义天,唐金武,朱玲玲.三峡水库运用 20a 后对草尾河航道的影响[J].武汉大学学报(工学版),2009,42(01):82-86.

[3] 平克军, 乐培九. 草尾河挖槽河段水位下降及其对上游的影响[]]. 水道港口, 2004(03):154-158.

[4] 许足怀, 郝品正, 平克军. 草尾河阿弥石至响水坎段 航道疏浚及效果分析 []]. 水道港口, 2005(02):87-89.

[5] 陈健强, 郝品正. 洞庭湖区草尾河草尾至泥湾河段航道治理研究[]]. 水道港口,2004(01):25-28.